



ISSN 2071-2898 (Print)  
ISSN 2071-2901 (Online)

Капорин И.Е., [Милюкова О.Ю.](#)

Неполное обратное  
треугольное разложение в  
параллельных алгоритмах  
предобусловленного метода  
сопряженных градиентов

**Рекомендуемая форма библиографической ссылки:** Капорин И.Е., Милюкова О.Ю. Неполное обратное треугольное разложение в параллельных алгоритмах предобусловленного метода сопряженных градиентов // Препринты ИПМ им. М.В.Келдыша. 2017. № 37. 28 с. doi:[10.20948/prepr-2017-37](https://doi.org/10.20948/prepr-2017-37)  
URL: <http://library.keldysh.ru/preprint.asp?id=2017-37>

**Ордена Ленина  
ИНСТИТУТ ПРИКЛАДНОЙ МАТЕМАТИКИ  
имени М. В. Келдыша  
Российской академии наук**

**И.Е. Капорин, О. Ю. Милюкова**

**Неполное обратное  
треугольное разложение  
в параллельных алгоритмах  
предобусловленного метода  
сопряженных градиентов**

**Москва — 2017**

***Капорин И.Е., Милюкова О.Ю.***

**Неполное обратное треугольное разложение в параллельных алгоритмах предобусловленного метода сопряженных градиентов**

Для предобусловливания симметричной положительно определенной разреженной матрицы рассматривается ее приближенная обратная, представленная в виде произведения двух взаимно сопряженных разреженных треугольных матриц. Предложен алгоритм параллельной реализации построения и обращения этого предобусловливателя. Предложен новый метод предобусловливания блочного Якоби неполного обратного треугольного разложения. Проводится сравнение времени решения модельной задачи и тестовых задач из коллекции университета Флориды рассматриваемыми методами и методами сопряженных градиентов с предобусловливанием Якоби и блочного неполного обратного треугольного разложения второго порядка.

***Ключевые слова:*** итерационное решение систем линейных алгебраических уравнений, разреженные матрицы, неполная обратная треугольная факторизация, параллельное предобусловливание, метод сопряженных градиентов

***Igor Evgenevich Kaporin, Olga Yurievna Milyukova***

**Incomplete inverse triangular factorization in parallel algorithms of preconditioned conjugate gradient methods**

A preconditioner for large sparse symmetric positive definite coefficient matrix is considered based on its approximate inverse in the form of product of a lower triangular sparse matrix by its transpose. A parallel algorithm for the construction and application of the preconditioner is proposed. A new approximate block Jacobi preconditioning method is proposed based on the use of the incomplete inverse triangular factorization of diagonal blocks. Timing results are presented for a model problem and test problems with matrices from the collection of the university of Florida for the proposed preconditioning in comparison with the 2<sup>nd</sup> order Block Incomplete Inverse Cholesky and the standard point Jacobi preconditionings.

***Keywords:*** iterative solution of linear systems, sparse matrices, incomplete inverse triangular factorization, parallel preconditioning, conjugate gradient method

## 1. Введение

Рассмотрим задачу приближенного решения системы линейных алгебраических уравнений (СЛАУ) большого размера

$$Ax = b \quad (1.1)$$

с симметричной положительно определенной разреженной матрицей  $A$  общего вида

$$A = A^T > 0.$$

Проблема построения соответствующих эффективных численных методов сохраняет свою актуальность, так как во многих важных прикладных областях продолжают возникать новые постановки таких задач. При этом сохраняется тенденция к росту размера матриц  $n$ , увеличению их заполненности ненулевыми элементами, усложнению их структуры разреженности, а также к ухудшению их обусловленности. В качестве примера такой постановки приведем конечноэлементные модели пространственных задач вычислительной механики, явившиеся источником большей части использованных в настоящей работе тестовых матриц [1].

Известно, что существующие пакеты программ, основанные на применении «точного» треугольного разложения разреженной матрицы  $A = U^T U$  (называемые «прямые решатели»), могут оказываться неэффективными из-за сильного заполнения треугольного множителя  $U$  ненулевыми элементами, которое иногда на несколько порядков превышает таковое для исходной матрицы. Для задач большого размера это может привести к неприемлемо высоким затратам объема памяти и времени счета (см., например, [2]).

В настоящей работе для решения СЛАУ большого размера используется предобусловленный метод сопряженных градиентов (CG), итерации которого осуществляются до выполнения условия

$$\|b - Ax_k\| \leq \varepsilon \|b - Ax_0\|, \quad 0 < \varepsilon \ll 1. \quad (1.2)$$

Решение задач с матрицами очень большого размера требует применения параллельных компьютеров с большим числом процессоров. Ниже будут рассмотрены итерационные методы решения задачи (1.1), существенно использующие матрицы  $H \approx A^{-1}$ , называемые явными предобусловливателями. В этих методах основная доля вычислительной работы приходится на повторные умножения разреженной матрицы на вектор, а операции решения систем с треугольными матрицами отсутствуют. Поэтому реализующие их параллельные алгоритмы оказываются хорошо приспособлены к массивно-параллельной реализации на гибридных суперкомпьютерах.

В настоящей работе мы рассматриваем предобусловливание, предложенное в [3,4] (см. также [5]), основанное на предобусловливании матрицы  $A$  посредством приближенного обратного симметрично-треугольного разложения:

$$\hat{G}A\hat{G}^T = I_n + E, \quad (1.3)$$

где  $\hat{G}$  - разреженная нижняя треугольная матрица с положительными диагональными элементами, а  $E$  представляет собой матрицу погрешности. Соответствующий предобусловливатель имеет вид

$$H \equiv \hat{G}^T \hat{G} \approx A^{-1}, \quad (1.4)$$

причем структура разреженности  $\hat{G}$  задается как множество ненулевых позиций, определяемых специальным образом, описанным ниже и состоящим в настоящей работе из двух этапов. Другие способы выбора структуры расположения ненулевых элементов  $\hat{G}$  обсуждались, в частности, в [6-8].

Предполагается, что матрица является предварительно переупорядоченной матрицей коэффициентов, то есть  $A_p = PAP^T$ , где  $P$  - матрица перестановки, а  $A$  представляет собой матрицу коэффициентов исходной задачи. В формулах (1.1), (1.3), (1.4) предполагается, что матрица  $A$  уже переупорядочена, а вместо  $A_p$  стоит  $A$ . В настоящей работе применяются переупорядочения, уменьшающие среднюю ширину ленты матрицы, а именно, предложенные в работе [9] и описанные ниже, являющиеся обобщением упорядочения [10]. Подход, предложенный в этих работах, позволяет одновременно произвести разбиение области расчета на подобласти.

При построении предобусловливателя будем также предполагать, что матрица отмасштабирована, т. е. ее диагональные элементы равны единице. Это достигается с использованием формулы:  $A_{SP} = D_{A_p}^{-1/2} A_p D_{A_p}^{-1/2}$ , где  $D_{A_p}$  - диагональная часть матрицы  $A_p$ . Далее при описании предобусловливателей вместо  $A_{SP}$  будем использовать обозначение  $A$ , предполагая, что переупорядочение и масштабирование уже выполнены. Значения ненулевых элементов матрицы  $G$  на каждом этапе определяются из условия оптимизации  $K$ -числа обусловленности матрицы  $GAG^T$  (см. ниже формулу (2.1)). Такое предобусловливание сокращенно будем называть ИС (inverse incomplete Cholesky). При этом, очевидно, что  $\hat{G} = GD_{A_p}^{-1/2}$ , и структуры разреженности матриц  $\hat{G}$ ,  $G$  совпадают.

В настоящей работе описан метод построения предобусловливателя  $G^T G$  для переупорядоченной и отмасштабированной матрицы  $A$ , предложен алгоритм его параллельной реализации, параллельный алгоритм реализации обращения предобусловливателя:  $z = Hr = \hat{G}^T \hat{G}r$ . Предложен новый метод предобусловливания блочного Якоби неполного обратного треугольного разложения (ВЛПС). При построении этого предобусловливателя и при его обращении не требуется обмен информацией между процессорами. Приводятся результаты расчетов модельной задачи и ряда тестовых задач из коллекции университета Флориды [1]. Проводится сравнение времени решения тестовых задач рассматриваемым методом (ИС-CG), предложенным новым методом (ВЛПС-CG), методом сопряженных градиентов с предобусловливанием Якоби (J-CG) и блочного неполного обратного треугольного разложения второго порядка (ВЛПС2-CG)[11].

## 2. Предобусловленный метод сопряженных градиентов

Пусть требуется решить СЛАУ (1.1), и для матрицы  $A$  ( $A := A_p$ ) построена приближенная обратная вида  $H \equiv \hat{G}^T \hat{G}$ . Алгоритм предобусловленного метода CG (см., например, [12]) имеет следующий вид:

$$r_0 = b - Ax_0, \quad p_0 = w_0 = Hr_0, \quad \gamma_0 = r_0^T p_0,$$

для  $k=0, \dots$  пока  $(r_k^T r_k) \leq \varepsilon^2 (r_0^T r_0)$  выполнять

$$\begin{aligned} q_k &= Ap_k, \\ \alpha_k &= \gamma_k / (p_k^T q_k), \\ x_{k+1} &= x_k + \alpha_k p_k, \\ r_{k+1} &= r_k - \alpha_k q_k, \\ z_{k+1} &= Hr_{k+1}, \\ \gamma_{k+1} &= r_{k+1}^T z_{k+1}, \\ \beta_k &= \gamma_{k+1} / \gamma_k, \\ p_{k+1} &= z_{k+1} + \beta_k p_k, \end{aligned}$$

где  $0 < \varepsilon \ll 1$ . С учетом соотношения (1.4), очевидно, что этот алгоритм использует лишь операции умножения разреженных матриц на вектор, операции вычисления скалярных произведений и элементарные векторные операции. Поэтому принципиальная возможность его эффективной параллельной реализации не вызывает сомнений, даже при использовании большого числа процессоров (включая гибридные суперкомпьютеры).

В [4, 13] доказана оценка сходимости метода CG вида

$$\|r_k\|_H \leq (K(HA)^{1/k} - 1)^{k/2} \|r_0\|_H,$$

где

$$K(B) = (n^{-1} \text{trace} B)^n / \det B \quad (2.1)$$

представляет собой  $K$ -число обусловленности симметричной матрицы  $B = \hat{G}A\hat{G}^T$ . При этом для числа итераций метода CG справедлива следующая (упрощенная) верхняя граница числа итераций:

$$k_{\varepsilon_1} \leq \log_2 K(HA) + \log_2 (\varepsilon_1^{-1}), \quad (2.2)$$

где  $0 < \varepsilon_1 \ll 1$  задает требуемое уменьшение -  $H$  нормы невязки. Заметим, что в силу формул  $A_{SP} = D_{A_p}^{-1/2} A_p D_{A_p}^{-1/2}$  и  $\hat{G} = GD_{A_p}^{-1/2}$  верно:  $K(HA_p) = K(H_s A_{SP})$ , где  $H_s = G^T G$ .

Для того, чтобы обеспечить эффективную реализацию указанного выше итерационного метода, факторизованный предобусловливатель  $H \equiv \hat{G}^T \hat{G}$  должен удовлетворять следующим требованиям: обладать хорошим качеством в смысле нужной аппроксимации  $A^{-1}$ ; использовать достаточно разреженную матрицу  $\hat{G}$ .

### 3. Выбор значений ненулевых элементов матрицы $G$ , обеспечивающий построение $K$ -оптимального предобуславливания

Итак, предположим, что матрица  $A$  переупорядочена и отмасштабирована. Опишем алгоритм [14] построения нижнетреугольной невырожденной матрицы  $G$ , оптимальной в смысле минимизации величины  $K(H_s A) = K(GAG^T)$  при фиксированной структуре разреженности треугольного множителя  $G$ . Допустим, что заранее заданы позиции структурно ненулевых элементов  $i$ -й строки нижнетреугольной матрицы  $G$ :

$$(G)_{i,j_i(1)}, \dots, (G)_{i,j_i(m_i)}, \quad 1 \leq i \leq n, \quad \text{где } 1 \leq j_i(1) < \dots < j_i(m_i) = i$$

представляет собой  $i$ -й список соответствующих столбцовых индексов. Тогда, как доказано в [14], минимум  $K$ -числа обусловленности  $K(HA)$  (индекс  $s$  у  $H_s$  опущен), определенного выше соотношением (2.1), достигается при

$$(G)_{i,j_i(p)} = (S_i^{-1})_{p,m_i} / \sqrt{(S_i^{-1})_{m_i,m_i}}.$$

Здесь  $S_i$ - представляет собой главную подматрицу размера  $m_i$  матрицы  $A$ , построенную на указанном  $i$ -м подмножестве столбцовых индексов, то есть

$$(S_i)_{pq} = (A)_{j_i(p),j_i(q)}, \quad 1 \leq p \leq m_i, \quad 1 \leq q \leq m_i.$$

Пусть  $z_i$  - вектор структурно ненулевых элементов  $i$ -той строки матрицы  $G$  длиной  $m_i$  ( $z_i(p) = (G)_{i,j_i(p)}$ ). Нетрудно убедиться в том, что справедлива еще более простая формула для вычисления векторов  $z_i$ , выражающая их через симметричную треугольную факторизацию [14]

$$S_i = L_i L_i^T$$

в виде

$$z_i = L_i^{-T} v_i,$$

где вектор  $v_i$  длины  $m_i$  имеет вид:  $v_i = (0, \dots, 0, 1)^T$ . Таким образом, для каждого  $i$  достаточно вычислить треугольное разложение  $S_i = L_i L_i^T$  матрицы порядка  $m_i$ , и затем решить одну треугольную систему  $L_i^T z_i = v_i$  того же порядка.

### 4. Выбор позиций ненулевых элементов матрицы $G$

В настоящей работе используется метод выбора позиций ненулевых элементов матрицы  $G$ , описанный в [15] (см. параграф 3.2). Эта процедура осуществляется в 2 этапа. На первом этапе множество позиций ненулевых элементов искомой матрицы выбирается в виде множества позиций ненулевых элементов матрицы  $A^q$ , где  $q$  - показатель степени. Затем предварительно строится матрица  $\tilde{G}$ , как описано в разделе 3.

На втором этапе осуществляется прореживание множества позиций ненулевых элементов построенной матрицы  $\tilde{G}$ : отбрасываются позиции, в которых  $0 < |g_{ij}| \leq \tau_0 g_{ii}$ , где  $j < i$ ,  $g_{ij}$  - элементы матрицы  $\tilde{G}$ ,  $0 < \tau_0 \ll 1$ . Затем

строится матрица  $G$ , как описано в разделе 3, в которой используется полученное прореженное множество ненулевых позиций.

Показатель степени  $q$  подбирается так, чтобы время решения СЛАУ (1.1) предобусловленным методом CG в сумме с временем построения предобусловливателя было минимально. Заметим, что для достаточно плотных матриц  $q=1$  обычно приводит к хорошим результатам.

## 5. Алгоритм параллельной реализации

Пусть матрица  $A$  переупорядочена и разбита на блоки, причем на блочной диагонали расположены  $p$  квадратных блоков размера  $n_s \times n_s$ ,  $1 \leq s \leq p$ . Обозначим  $k_s = n_1 + \dots + n_s$ .

В каждом процессоре с номером  $s = 1, \dots, p$  будем строить матрицу  $G_s$ , содержащую соответствующие  $n_s$  строк матрицы  $G$ . Сначала в каждом процессоре с номером  $s = 1, \dots, p$  создадим матрицы  $\bar{S}_s$  размера  $m_s \times m_s$ , где  $m_s \geq n_s$ , которые будут содержать все элементы матрицы  $A$ , необходимые для построения всех строк матрицы  $\tilde{G}$  с номерами  $k_{s-1} + 1 \leq i \leq k_s$ . Для этого нужно осуществить соответствующие пересылки. Заметим, что матрица  $\bar{S}_s$  может содержать элементы матрицы  $A$  с номерами строк  $i \leq k_{s-1}$ , содержит строки с номерами  $k_{s-1} + 1 \leq i \leq k_s$ . Затем производится масштабирование матриц  $\bar{S}_s$ , что осуществляется всеми процессорами одновременно и независимо. При этом находятся элементы диагональной матрицы  $D_{A_p, s}$ , которые являются соответствующими элементами матрицы  $D_{A_p}$ .

В каждом процессоре при построении матрицы  $G_s$  используется алгоритм, аналогичный алгоритму при построении матрицы  $G$  (см. разделы 3,4), только вместо матрицы  $A$  используется отмасштабированная матрица  $\bar{S}_s$ . При этом для всех строк внутри каждой подобласти все вычисления происходят независимо. Затем во всех процессорах независимо и одновременно вычисляется матрица  $\hat{G}_s = G_s D_{A_p, s}^{-1/2}$ .

Параллельная реализации вычислений  $z = Hr = \hat{G}^T \hat{G}r$  происходит следующим образом. Сначала производится пересылка из процессоров с меньшими номерами в процессоры с большими номерами значений  $r_m$  (здесь  $m \leq k_{s-1}$  индекс компоненты вектора  $r$ ), необходимых для вычисления  $\hat{z}_s = \hat{G}_s r$  в каждом процессоре с номером  $s$ . Затем в процессоре с номером  $s$  ( $1 \leq s \leq p$ ) вычисляются  $\hat{z}_s = \hat{G}_s r$  и соответствующие слагаемые  $z_l = \hat{G}_s^T \hat{z}_s$  ( $l \leq s$ ,  $l$  - номер процессора, содержащего соответствующую компоненту вектора  $z$ ). Далее, после выполнения необходимых пересылок (из процессоров с большими номерами в процессоры с меньшими номерами), в каждом процессоре с номером  $s$  производится суммирование вида  $z = z_s + \sum_{l>s} z_l$ , где  $z_l$  - нужная часть



вектора  $z$ , которая вычисляется в процессоре с номером  $l$  при выполнении в нем своей доли вычислений для получения  $z = \hat{G}^T(\hat{G}r)$ .

Матрица  $A$  хранится в памяти в виде верхнего треугольника. Подробное описание параллельной реализации умножения матрицы на вектор в этом случае приведено в [10]. Остальные этапы параллельной реализации предобусловленного метода CG хорошо известны и не представляют труда.

## 6. Предобусловливание при помощи блочного метода Якоби в сочетании с неполным обратным треугольным разложением

Пусть матрица  $A$  переупорядочена и разбита на блоки, причем на блочной диагонали расположены  $p$  квадратных блоков размера  $n_s \times n_s$ ,  $1 \leq s \leq p$ . Обозначим, как и ранее,  $k_s = n_1 + \dots + n_s$ . Определим прямоугольные матрицы

$$W_s = [e_{k_{s-1}+1} \dots e_{k_s}],$$

столбцы которых являются единичными  $n$ -векторами, где  $k_{s-1}+1, \dots, k_s$  представляют собой индексы  $s$ -ого блока. Построим матрицы размерами  $n_s \times n_s$   $W_s^T A W_s = A_s$ . Проведем масштабирование матриц  $A_s$ , получим матрицы  $A_{0s}$ . Построим неполные обратные треугольные разложения для этих матриц:  $\bar{G}_s^T \bar{G}_s \approx A_{0s}^{-1}$ . В качестве предобусловливателя будем использовать

$$H = \sum_{s=1}^p W_s D_{A_s}^{-1/2} \bar{G}_s^T \bar{G}_s D_{A_s}^{-1/2} W_s^T. \quad (6.1)$$

Предобусловливание (6.1) будем называть блочное Якоби неполное обратное треугольное разложение (ВЛТС). Вычисление элементов матриц  $\bar{G}_s$  ( $s=1, \dots, p$ ) осуществляется аналогично описанному в разделах 3,4, вместо отмасштабированной матрицы  $A$  используются матрицы  $A_{0s}$ . При вычислении матрицы  $\bar{G}_s$  в каждом процессоре с номером  $s=1, \dots, p$  не требуется информации, хранящейся в других процессорах. Кроме того, каждая строка матрицы  $\bar{G}_s$  вычисляется независимо от других строк этой матрицы. В процессе вычисления матрицы предобусловливателя все процессоры могут работать одновременно и независимо, пересылок не требуется. При выполнении операции

$$z = Hr,$$

где матрица  $H$  определена в (6.1), тоже все процессоры могут работать одновременно и независимо, пересылок не требуется.

Заметим, что блочное Якоби предобусловливание имеет вид:

$$H = \sum_{s=1}^p W_s A_s^{-1} W_s^T.$$

## 7. Оценки уменьшения К-числа обусловленности в методах ВЛПС и ПС

Мы предполагаем, что матрица  $A$  предварительно переупорядочена и отмасштабирована (см. выше). Прежде всего, заметим, что предобусловливания ВЛПС и ПС отвечают одному и тому же методу, но с разным выбором структуры заполненности матрицы  $G$ , а именно, из структуры ненулей матрицы  $G$  метода ПС удаляются все блочно-внедиагональные позиции, и получается структура матрицы  $\bar{G}$  метода ВЛПС.

Теперь напомним, что, согласно выкладкам на с.104 диссертации [13], справедлива следующая оценка уменьшения К-числа обусловленности, которое достигается при применении ПС-предобусловливания:

$$\frac{K(G^T GA)}{K(A)} \leq \exp\left(-\frac{1}{\|A\|} \sum_{i=1}^n a_i^T a_i\right) = \exp\left(-\frac{1}{\|A\|} \sum_{i=1}^n \sum_{s=1}^{m_i-1} A_{i,j_i(s)}^2\right),$$

где  $j_i(s)$  для метода ПС были определены выше в п.3. Заметим также, что при  $q \geq 1$  для выбранного нами способа построения структуры  $G$  и способа масштабирования матрицы  $A$  в методе ПС, справедлива формула

$$\sum_{i=1}^n \sum_{s=1}^{m_i-1} A_{i,j_i(s)}^2 = \frac{1}{2} \|I - A\|_F^2,$$

где  $\|\cdot\|_F$  обозначает фробениусову норму матрицы. Если же обозначить теперь индексы ненулевых элементов  $\bar{G}$  через  $\bar{j}_i(s)$ , то для метода ВЛПС получим

$$\frac{K(\bar{G}^T \bar{G} A)}{K(A)} \leq \exp\left(-\frac{1}{\|A\|} \sum_{i=1}^n \sum_{s=1}^{m_i-1} A_{i,\bar{j}_i(s)}^2\right),$$

Теперь, напоминая обозначение  $A_0 = \text{BlockDiag}(A)$ , можно воспользоваться очевидными соотношениями

$$\sum_{i=1}^n \sum_{s=1}^{m_i-1} A_{i,\bar{j}_i(s)}^2 = \frac{1}{2} \|I - A_0\|_F^2$$

и

$$\|I - A\|_F^2 = \|I - A_0\|_F^2 + \|A - A_0\|_F^2,$$

так что сравнение двух предобусловливаний дают следующие два неравенства:

$$\frac{K(G^T GA)}{K(A)} \leq \exp\left(-\frac{\|I - A\|_F^2}{2\|A\|}\right)$$

для метода ПС, и

$$\frac{K(\bar{G}^T \bar{G} A)}{K(A)} \leq \exp\left(-\frac{\|I - A_0\|_F^2}{2\|A\|}\right) = \exp\left(-\frac{\|I - A\|_F^2}{2\|A\|}\right) \exp\left(\frac{\|A - A_0\|_F^2}{2\|A\|}\right)$$

для метода ВЛПС. Таким образом, получаем, что оценка числа итераций в обоих методах меньше, чем в методе  $CG$  с предобусловливанием Якоби. Кроме того,

здесь видно, что за ухудшение оценки ВЛПС по сравнению с ПС отвечает величина фробениусовой нормы  $\|A - A_0\|_F$  блочно-внедиагональной части матрицы  $A$ . Таким образом, если матрица  $A$  несильно отличается от  $A_0$ , можно ожидать, что правые части этих оценок отличаются не очень сильно.

В частности, для задачи Дирихле для уравнения Пуассона, когда разбиение области расчета происходит на квадратные или кубические подобласти получаем  $K(\bar{G}^T \bar{G} A) > K(G^T G A)$ ; оценка числа итераций в методе ВЛПС-CG хуже, чем в методе ПС-CG.

Матрица  $A_0$  несильно отличается от  $A$  при достаточно хорошем разбиении, когда вне блочной диагонали оказывается не слишком много ненулевых элементов  $A$ . Об одном из таких разбиений речь пойдет ниже. Желательно также, чтобы отбрасываемые элементы  $A$  были небольшими по модулю.

## 8. Переупорядочение и разбиение графа матрицы

Для параллельной реализации матричных операций, нам требуется определить переупорядочение и разбиение графа разреженной матрицы  $A$ , имеющей порядок  $n$  и симметричную структуру разреженности, содержащую  $nz(A)$  ненулевых элементов. Соответствующий неориентированный граф образуется множеством  $n$  вершин  $V$  и множеством  $nz(A)/2$  ребер  $E$ , соединяющих вершины с номерами  $i$  и  $j$ , если  $(A)_{ij} \neq 0$ .

Для описания неориентированного графа симметризованной структуры разреженности рассматриваемых матриц используем стандартный формат CRS, (compressed row sparse) используемый для представления разреженных матриц. Эта структура задается массивом IA длины  $n+1$ , где  $n$  обозначает общее число узлов графа, причем  $IA(0)=0$  и  $IA(i+1)-IA(i)$  равно количеству узлов графа, смежных с  $i$ -м узлом, а  $JA(IA(i)+1), \dots, JA(IA(i+1))$  представляют собой номера этих узлов графа.

Задача разбиения разреженной матрицы ставится с целью эффективной параллельной реализации ее умножения на произвольный плотный вектор,  $z = Av$ . Эта операция (необходимая при реализации итерационных методов решения систем линейных алгебраических уравнений) обычно организуется путем симметричного переупорядочения  $n \times n$ -матрицы  $A$  (с симметричной структурой разреженности) и разбиения ее на блоки  $A_s$  размеров  $n_s \times n$  (для указания границ блоков используется массив  $IBL(k+1) = n_1 + \dots + n_k$ , где  $IBL(1) = 0$ ), и тем же образом произведено разбиение векторов  $z$  и  $v$ . Таким образом, блочная диагональ матрицы  $A$  образуется  $p$  квадратными блоками  $A_{ss}$  порядка  $n_s$ ,  $1 \leq s \leq p$ . При таком распределении данных по параллельным процессам, перед тем, как производить в каждом процессоре вычисление по формуле

$$z_s = A_s v, \text{ где } 1 \leq s \leq p,$$

требуется предварительно сделать нужные пересылки некоторых компонент подвекторов  $v_s$  между параллельными процессами. (Номера этих компонент, очевидно, являются номерами ненулевых столбцов матриц  $A_s$ , не входящих в диагональные блоки  $A_{ss}$ )

Таким образом, для эффективной параллельной реализации умножения матрицы на вектор выбор перенумерации и разбиения графа разреженной матрицы достаточно подчинить требованию сдерживания коммуникационных затрат на операцию обновления данных, связанных с «приграничными» узлами каждого подграфа (блока).

Одним из главных возможных источников снижения эффективности параллельной обработки может служить нарастание дисбаланса локальных размеров вычислительных подзадач с увеличением числа процессоров. Для этого используется стратегия разбиения графа на  $p$  подграфов примерно равного размера  $\approx n/p$  за счет удаления (разрезания) тех дуг, которые отвечают связям с «приграничными» узлами. При этом основным критерием качества разбиения обычно служит общее количество разрезанных ребер (EdgeCut).

Таким образом, искомые переупорядочение и разбиение должны обеспечить достаточную концентрацию большей части ненулевых элементов матрицы в ее блочно-диагональной части, состоящей из  $p$  квадратных блоков близкого размера.

Из приведенного выше обсуждения следует целесообразность выбора следующих критериев качества переупорядочения и разбиения матрицы смежности графа:

- (i) Уменьшить число ненулевых элементов вне блочной диагонали (равное удвоенному числу разрезанных ребер CutSize);
- (ii) Уменьшить число внешних вершин для каждого блока, общее число которых по всем блокам обозначается далее как Tot\_ovl (т.е. таких вершин, которые связаны ребром с какой-либо вершиной из блока, но не принадлежат блоку);
- (iii) Уменьшить число блоков, с которыми через «приграничные» множества связан каждый блок;
- (iv) Обеспечить сбалансированность объемов вычислительной работы, связанной с каждым из блоков.

Опишем сначала простейшую процедуру [9,10], аналогичную предложенной в [16], которая позволяет найти  $p$  стартовых узлов, пригодных для инициализации процесса разбиения графа.

Для первоначального разбиения разреженной  $n \times n$ -матрицы смежности  $A$  на блоки используется следующий примитивный, но весьма надежный Алгоритм 1. Как уже упоминалось выше, целью используемой перенумерации является концентрация большей части ненулевых элементов матрицы в ее блочно-диагональной части, состоящей из  $p$  квадратных блоков почти одинакового размера.

Рассмотрим неориентированный граф с  $n$  вершинами, где  $i$ -я вершина соединена ребром с  $j$ -й, если  $(A)_{ij} \neq 0$ . Построим целочисленные массивы  $ioc(1:n)$  и  $ior(1:n)$ , задающие искомые перестановки строк и столбцов матрицы смежности  $A$  :

$$\hat{A} = PAP^T, \quad (Px)_i = x_{ior(i)}, \quad ioc(ior(i)) = i.$$

В Алгоритме 1 используются следующие три множества вершин:

- (а) непомеченные вершины;
- (б) помеченные вершины (вышеуказанные два множества не пересекаются, а их объединение составляет множество всех вершин);
- (в) включенные (в текущий блок) вершины (являющиеся подмножеством помеченных вершин).

При этом, как только завершается построение текущего блока, все помеченные, но не включенные вершины, снова полагаются непомеченными.

Опишем этапы выполнения Алгоритма 1 подробнее.

Предварительно вычислим размеры всех блоков, полагая их равными

$$n_k = \begin{cases} \lfloor n/p \rfloor + 1, & \text{при } 1 \leq k \leq n - p \lfloor n/p \rfloor, \\ \lfloor n/p \rfloor, & \text{при } n - p \lfloor n/p \rfloor < k \leq p. \end{cases}$$

Соответственно, через величины  $n_k$  определяем массив границ блоков  $IBL(1:p+1)$ .

Сначала считаем все вершины непомеченными, полагая

$$ioc(j) := 0, \quad j = 1, \dots, n.$$

Инициализируем счетчик блоков  $k := 1$  и счетчик включенных вершин  $kc := 0$ ; будем также использовать счетчик помеченных вершин  $kl \geq kc$ .

**L1:** Находим любую непомеченную вершину; пусть  $i$  - ее номер. (Если же таковой не нашлось, переходим к L3.) Полагаем

$$kc := kc + 1, \quad ior(kc) := i, \quad ioc(i) := kc.$$

Инициализируем список помеченных, но невключенных вершин:

$$kl := kc.$$

**L2:** Полагаем  $i := ior(kc)$  и просматриваем все вершины, связанные ребрами с  $i$ -й вершиной, помечая все непомеченные:

```

for all ( $j : (A)_{ij} \neq 0$ ) do
  if ( $ioc(j) = 0$ ) then
     $kl := kl + 1, ior(kl) := j, ioc(j) := kl$ 
  endif
enddo

```

Если список помеченных, но невключенных вершин пустой, то переходим к поиску непомеченной вершины:

**if** ( $kl = kc$ ) **go to** L1;

в противном случае включаем вершину с наименьшим номером из списка помеченных, но пока не включенных:

$$kc := kc + 1, \quad ioc(ior(kc)) = kc.$$

Если текущий блок не закончен (то есть  $kc < n_1 + \dots + n_k$ ), то переходим к L2; в противном случае помечаем все вершины из списка помеченных, но пока не включенных, как непомеченные:

$$ioc(ior(j)) = 0, \quad ior(j) := 0, \quad j = kc + 1, \dots, kl,$$

полагаем  $k := k + 1$  и переходим к L1.

**L3:** Обращаем построенный порядок нумерации вершин и порядок следования подобластей:

$$ioc(i) = n + 1 - ioc(i), \quad ior(ioc(i)) = i, \quad i = 1, \dots, n.$$

В некоторых случаях, см., напр., [10], это может существенно улучшить эффективность использования такого упорядочения.

Затраты времени на построение такого переупорядочения пропорциональны  $nz(A)$  (числу ненулевых элементов матрицы  $A$ ), т.е. весьма невелики.

Заметим, что некоторые блоки (обычно с небольшими номерами) в получаемом упорядочении могут быть несвязными (как, напр., первый блок на Рис. 1 в работе [10]). Это обстоятельство часто приводит к заметному увеличению дисбалансов размеров «приграничных» подмножеств блоков (определенных в п.2), а также к неоправданному увеличению числа разрезанных ребер EdgeCut. Более того, наиболее неприятным явлением может оказаться наличие неоправданно большого количества непосредственных «соседей» (т.е., других блоков, имеющих общую вершину через разрезанное ребро) у некоторых блоков (в частности, несвязных), см. выше п.(iii). Поэтому предлагается следующая модификация, которую назовем Алгоритм 2. Аналогичные подходы были рассмотрены, напр., в [17,18].

На первом этапе применяется Алгоритм 1. Затем в каждой из  $p$  построенных подобластей выбирается один стартовый узел, например как

$$i_s = ior( (IBL(s) + 2 + IBL(s+1)) / 2 ), \quad s = 1, \dots, p.$$

С этих узлов стартуют  $p$  «копий» Алгоритма 1, запускаемых на равных правах, но в порядке специальной очередности. Из всех  $p$  «копий» Алгоритма 1, только одной из них разрешается сделать один шаг добавления окрестности последнего включенного в  $s$ -ю подобласть узла (шаг L2). После этого производится сравнение всех текущих значений количества включенных узлов для каждой из  $p$  строящихся подобластей, и находится та из них, для которой это значение минимально. Тогда уже для нее делается следующий шаг L2, и т.д. Таким образом, на каждом элементарном шаге может наращиваться на один узел только та подобласть, которая содержит в себе узлов не больше любой другой. Такой подход способствует лучшей балансировке подобластей. Заметим, что на завершающих этапах алгоритма может оказаться, что подобласть с наименьшим числом узлов не может быть пополнена (так как окружена узлами, уже

принадлежащими другим подобластям). В таком случае она остается неизменной, и обрабатываются другие подобласти, где еще возможно достраивание.

Описанная процедура вполне работоспособна, и если исходный граф изначально является связным, то она всегда приводит к построению связных блоков. При этом обеспечивается неплохая балансировка подобластей по количеству узлов, если только значение  $p$  относительно  $n$  и/или среднее число дуг, приходящееся на каждый узел, не слишком велики.

Понятно, что к полученному разбиению можно снова применить тот же цикл построения (при этом будут выбраны, вообще говоря, другие стартовые вершины). Так можно делать несколько раз (например, 10), и выбирать тот результат, для которого, например, значение EdgeCut будет наименьшим.

## 9. Предобусловливание при помощи блочного неполного обратного треугольного разложения и предобусловливание Якоби

Рассмотрим метод предобусловливания ВПС2, предложенный в [11]. Пусть матрица  $A$  переупорядочена и разбита на блоки, причем на блочной диагонали расположены  $p$  квадратных блоков размера  $n_s \times n_s$ ,  $1 \leq s \leq p$ . Обозначим, как и ранее,  $k_s = n_1 + \dots + n_s$ , и пусть  $m_s \geq n_s$  - размеры расширенных блоков. Определим прямоугольные матрицы

$$V_s = \left[ e_{j_s(1)} \mid \dots \mid e_{j_s(m_s - n_s)} \mid e_{k_{s-1}+1} \mid \dots \mid e_{k_s} \right],$$

столбцы которых являются единичными  $n$ -векторами, где  $k_{s-1}+1, \dots, k_s$  представляют собой индексы  $s$ -ого блока, а  $j_s(1), \dots, j_s(m_s - n_s)$  являются индексами перекрытия, причем  $j_s(\cdot) \leq k_{s-1}$ . Используя приближенное треугольное разложение второго порядка «по значению», описанное в [19], для аппроксимации  $m_s \times m_s$  подматриц

$$V_s^T A V_s = U_s^T U_s + U_s^T R_s + R_s^T U_s - S_s,$$

где  $\|R_s\| = O(\tau)$ ,  $\|S_s\| = O(\tau^2)$  и  $0 < \tau \ll 1$  - порог отсечения, определим предобусловливатель формулой

$$H = \sum_{s=1}^p V_s U_s^{-1} \begin{bmatrix} 0 & 0 \\ 0 & I_{n_s} \end{bmatrix} U_s^{-T} V_s^T.$$

Как известно, в предобусловливание Якоби  $H = D_A^{-1}$ , где  $D_A$  - диагональная часть матрицы  $A$ . Доказано [14], что предобусловливание Якоби в алгоритме метода CG минимизирует  $K$  число обусловленности на классе диагональных предобусловливателей.

## 10. Результаты расчетов

Все программы, реализующие применение методов ПС-CG, ВПС-CG, J-CG, ВПС2-CG для решения системы уравнений  $Ax=b$ , где  $A=A^T > 0$ , были написаны на языке FORTRAN с использованием MPI, расчеты производились на многопроцессорной вычислительной системе МВС-10П, установленной на МСЦ РАН. Матрица  $A$  хранилась в распределенном CRS-формате, см. выше п.8.

Тестирование и сравнение методов производилось с помощью расчетов модельной задачи – разностной задачи Дирихле для уравнения Пуассона в единичном квадрате на ортогональной сетке, причем  $n=1048576$ . Использовалась стандартная 5-точечная аппроксимация лапласиана (имя матрицы 5\_1048576). Для тестирования рассматриваемых параллельных методов использовались также некоторые матрицы из коллекции университета Флориды [1]. Перечислим имена используемых тестовых матриц и укажем источник их происхождения:

- s3dkt3m2** - модель цилиндрической оболочки на треугольной сетке;
- thread** - контактная задача (соединитель с резьбовым сочленением);
- x104** - моделирование конструкций (балочное сочленение);
- m\_t1** - моделирование конструкций (трубчатое сочленение);
- hood** - моделирование конструкций;
- pwtk** - модель воздуховода под давлением;
- msdoor** - моделирование конструкций (дверь среднего размера).

В таблице 1 перечислены некоторые свойства этих матриц, причем значения  $Cond(A_S)$ , где  $A_S = (D_A)^{-1/2} A (D_A)^{-1/2}$  - матрица системы уравнений после масштабирования, взяты из работы [14],  $Id$  – количество строк без диагонального преобладания,  $Ip$  – количество положительных внедиагональных элементов,  $NZA$  – число ненулевых элементов матрицы  $A$ ,  $nz_{min}$ ,  $nz_{max}$  - минимальное и максимальное число ненулевых элементов в строках матрицы  $A$ .

Таблица 1

Свойства некоторых матриц из коллекции университета Флориды

Матрица	N	NZA	Id	Ip	$nz_{min}$	$nz_{max}$	$Cond(A_S)$
<b>m_t1</b>	97578	9753570	1	4648398	48	237	0.47+10
<b>Hood</b>	220542	9895422	9910	4879422	1	77	0.55+6
<b>Pwtk</b>	217918	11524432	325	5407348	2	180	0.26+9
<b>msdoor</b>	415863	19173163	11125	9350756	1	77	0.19+9
<b>s3dkt3m2</b>	90449	3686223	0	1765314	7	42	0.31+11
<b>x104</b>	108384	8713602	2255	4059880	8	270	0.1+11
<b>thread</b>	29736	4444880	0	2171496	28	306	0.89+10



Решалось уравнение  $Ax = b$ , где правая часть  $b_i \equiv 1$ , начальное приближение  $x_0 \equiv 0$ , счет продолжался до выполнения условия (1.2), где  $\varepsilon = 10^{-8}$ . Для разбиения области расчета при решении всех задач использовался способ, описанный в разделе 8, с 4 итерациями. Для решения задачи с матрицей **thread** использовался также способ [10]. При построении предобусловливателей ПС во всех задачах, кроме модельной, использовались значения параметров  $\tau_0 = 0.01$ ,  $q = 1$ , в модельной задаче  $\tau_0 = 0.01$ ,  $q = 2$ . Такой выбор  $q$  был продиктован минимизацией времени счета задачи. При построении предобусловливателя ВПС во всех задачах из коллекции университета Флориды использовались значения параметров  $\tau_0 = 0.01$ ,  $q = 1$ . При решении модельной задачи  $\tau_0 = 0.01$ ,  $q = 1$  при  $p < 100$ , и  $q = 2$  в противном случае (из соображений минимальности времени счета задачи).

При построении предобусловливателей ВПС2 в модельной задаче использовались значения параметров  $q_1 = 4$ ,  $\tau = 0.01$ , в задаче **s3dkt3m2**  $q_1 = 1$ ,  $\tau = 0.01$ , в задачах **hood**, **pwtk**, **msdoor** использовались значения параметров  $q_1 = 2$ ,  $\tau = 0.002$ , в задаче **thread**  $q_1 = 1$ ,  $\tau = 0.002$ , а в задачах **m\_t1**, **x104**  $q_1 = 1$ ,  $\tau = 0.0002$ , где  $q_1$  глубина налегания. Выбор этих параметров был осуществлен ранее и продиктован минимизацией времени решения задачи методом ВПС2–CG при использовании разбиения [10].

В таблицах 2,5 приведены времена счета задач (в секундах), состоящие из времен вычисления предобусловливателя и счета итерационного процесса, методами ПС-CG, ВПС-CG, J-CG, ВПС2-CG для различного числа процессоров.

Заметим, что незаполненные в таблице 2 и во всех следующих таблицах клетки соответствуют случаям, когда увеличение числа используемых процессоров может привести к ухудшению масштабируемости методов.

В таблицах 3, 6 приведены ускорения счета задач на  $p$  процессорах, по сравнению с 8 процессорами ( $s_p = t_p / t_8$ , где  $t_p$  - время счета на  $p$  процессорах).

В таблицах 4, 7 приведены значения чисел итераций методов ПС-CG, ВПС-CG, J-CG, ВПС2-CG для различного числа процессоров. Как видно из таблицы 4, при использовании метода ВПС-CG для решения задач из коллекции университета Флориды наблюдается некоторый рост числа итераций с ростом числа процессоров. Однако, благодаря значительному уменьшению числа пересылок, время счета методом ВПС-CG обычно оказывается немного меньше времени счета методом ПС-CG (см. табл. 2).

Таблица 2

Времена счета задач методом CG: число сверху – с предобусловливателем ПС, ниже с предобусловливателями ВПИС, Якоби и ВПС2

	$p=8$	$p=16$	$p=32$	$p=60$	$p=100$	$p=160$	$p=200$
<b>5_1048576</b>	6.35	4.93	2.05	0.89	0.51	0.51	0.38
ВПИС	6.47	5.58	2.14	0.92	0.6	0.44	0.38
J	4.73	4.69	0.92	0.54	0.33	0.3	0.27
ВПС2	2.59	1.96	1.0	0.47	0.24	0.18	0.17
<b>m_t1(ПС)</b>	15.68	9.80	5.47	2.82	2.15	2.18	1.88
ВПИС	15.75	8.85	4.84	2.29	1.57	1.61	1.41
J	662.83	460.15	188.02	112.43	87.37	90.84	93.95
ВПС2	27.71	16.06	6.38	2.51	1.21	0.94	0.93
<b>hood (ПС)</b>	4.09	2.42	1.31	0.70	0.56	0.43	0.39
ВПИС	3.58	2.21	1.14	0.62	0.37	0.28	0.24
J	9.55	8.28	2.42	1.49	1.07	1.12	1.11
ВПС2	4.31	2.52	1.15	0.63	0.36	0.22	0.19
<b>pwtk (ПС)</b>	16.95	9.64	5.00	2.13	1.60	1.26	1.2
ВПИС	16.39	9.63	4.84	1.96	1.46	1.07	1.0
J	151.65	109.98	28.49	15.81	12.45	11.28	11.35
ВПС2	14.11	9.31	4.2	2.55	1.22	0.8	0.68
<b>msdoor(ПС)</b>	32.43	19.85	9.66	5.17	2.95	1.97	1.90
ВПИС	31.94	21.57	13.13	7.74	3.32	2.78	2.21
J	325.16	258.75	102.15	33.36	20.27	19.14	18.08
ВПС2	33.4	14.66	9.48	4.37	2.27	1.27	0.96
<b>x104 (ПС)</b>	23.11	14.55	6.84	4.34	2.98	3.12	
ВПИС	22.31	14.42	6.73	3.91	2.63	2.72	
J	1108.7	738.59	272.15	208.75	142.76	75.36	
ВПС2	75.78	52.07	25.73	8.83	7.11	6.37	
<b>s3dtk3m2(ПС)</b>	7.39	4.19	2.09	1.26	1.10	1.18	
ВПИС	7.14	4.02	2.09	1.27	1.04	0.97	
J	25.88	13.64	8.44	6.36	5.39	5.61	
ВПС2	3.71	2.14	1.09	0.59	0.45	0.40	

Заметим, что, как показывают расчеты, для матриц **5\_1048576**, **m\_t1**, **hood**, **pwtk**, **msdoor**, **x104**, **s3dtk3m2** использование упорядочения, описанного выше, позволяет уменьшить рост итераций с ростом числа процессоров в методе ВПИС-CG по сравнению с его ростом при использовании упорядочения [10].

Таблица 3

Ускорения счета задач на  $p$  процессорах по сравнению с 8 процессорами

<i>Идеальное ускорение</i>	$p=8$	$p=16$ 2	$p=32$ 4	$p=60$ 7.5	$p=100$ 12.5	$p=160$ 20	$p=200$ 25
<b>5_1048576(ПС)</b>	1.0	1.29	3.09	7.13	12.45	12.45	16.71
ВПИС	1.0	1.16	3.02	7.03	10.78	14.7	17.02
J	1.0	1.0	5.14	8.76	14.33	15.76	17.51
ВПИС2	1.0	1.32	2.59	5.51	10.8	14.38	15.23
<b>m_t1(ПС)</b>	1.0	1.61	2.88	5.59	7.33	7.23	8.39
ВПИС	1.0	1.77	3.25	6.87	10.03	9.78	11.17
J	1.0	1.44	3.52	5.9	7.58	7.29	7.05
ВПИС2	1.0	1.72	4.34	11.04	22.9	29.5	29.8
<b>hood(ПС)</b>	1.0	1.69	3.12	5.84	7.35	9.51	10.48
ВПИС	1.0	1.62	3.14	5.77	9.67	12.78	14.91
J	1.0	1.15	3.94	6.41	8.92	8.52	8.6
ВПИС2	1.0	1.71	3.74	6.84	11.97	19.59	22.68
<b>pwtk(ПС)</b>	1.0	1.75	3.39	7.95	10.59	13.45	14.12
ВПИС	1.0	1.70	3.38	8.36	11.22	15.31	16.39
J	1.0	1.37	5.32	9.59	12.18	13.44	13.36
ВПИС2	1.0	1.51	3.36	5.53	11.56	17.63	20.75
<b>msdoor(ПС)</b>	1.0	1.63	3.36	6.27	10.99	16.46	17.06
ВПИС	1.0	1.48	2.43	4.12	9.62	11.48	14.45
J	1.0	1.25	3.18	9.74	16.04	16.98	17.98
ВПИС2	1.0	2.27	3.52	7.64	14.71	26.29	34.79
<b>x104(ПС)</b>	1.0	1.63	3.37	5.32	7.75	7.4	
ВПИС	1.0	1.54	3.31	5.7	8.48	8.2	
J	1.0	1.50	4.07	5.31	7.76	14.71	
ВПИС2	1.0	1.45	2.94	8.58	10.66	11.89	
<b>s3dtk3m2(ПС)</b>	1.0	1.76	3.53	5.86	6.71	6.26	
ВПИС	1.0	1.77	3.41	5.62	6.86	7.36	
J	1.0	1.89	3.06	4.07	4.8	4.61	
ВПИС2	1.0	1.73	3.40	6.28	8.24	9.27	

Числа итераций при расчетах задач методом CG  
с различными предобусловливателями

	$p=8$	$p=16$	$p=32$	$p=60$	$p=100$	$p=160$	$p=200$
<b>5_1048576(ПС)</b>	1211	1176	1200	1169	1162	1164	1199
ВПС	1824	1777	1953	1949	1517	1548	1560
J	1898	1898	1898	1898	1898	1898	1898
ВПС2	300	310	330	338	350	364	369
<b>m_t1(ПС)</b>	3053	3066	3044	3012	2938	2903	2887
ВПС	3334	3292	3438	3599	3769	4271	4336
J	536545	536667	534807	536474	537466	537249	535102
ВПС2	1500	1311	1143	1053	1134	1041	1291
<b>hood (ПС)</b>	426	410	415	410	415	410	428
ВПС	426	448	460	469	454	502	491
J	6078	6056	6052	6061	6059	6063	6066
ВПС2	71	60	55	48	46	54	57
<b>pwtk (ПС)</b>	3693	3575	3597	3541	3545	3514	3500
ВПС	3775	3773	3964	3962	4158	4239	4343
J	74111	74065	74119	74692	74676	74029	74088
ВПС2	1550	1317	1261	1542	1345	1374	1436
<b>msdoor (ПС)</b>	3935	3888	3853	3845	3800	3793	3760
ВПС	4137	4427	5638	6537	5217	6366	5566
J	83510	83496	83531	83493	83466	83504	83488
ВПС2	1106	823	923	798	671	597	596
<b>x104 (ПС)</b>	8354	8405	8084	8146	7910	7569	
ВПС	8411	8864	9237	9250	9517	8411	
J	884621	888104	882639	884943	882803	887428	
ВПС2	15581	14034	13350	10647	10501	9168	
<b>s3dtkt3m2(ПС)</b>	6594	6674	6463	6463	5971	6086	
ВПС	6859	7107	7327	7527	7495	7814	
J	61661	61608	60266	61025	62299	60280	
ВПС2	1241	1195	1673	1527	1669	1800	

Ниже приведены результаты расчетов задачи с матрицей **thread**, в которых при относительно небольшом числе процессоров при использовании упорядочения, описанного выше, наблюдается неожиданно большое число итераций метода ВПС-CG. Возможно, это связано с высокой плотностью матрицы и ее небольшим размером, а также большими по модулю значениями элементов матрицы  $A-A_0$ . В таблицах 5-7 в верхней части приведены результаты расчета с описанным выше упорядочением, в нижней части – с упорядочением [10].

Таблица 5

Время счета задачи с матрицей **thread** методом CG с различными предобусловливателями при различных способах разбиения

	$p=8$	$p=16$	$p=32$	$p=60$	$p=100$	$p=160$
<b>thread</b> (ИС)	9.28	6.79	4.26	2.92	3.00	3.26
ВЛИС	93.71	87.51	77.00	21.92	9.84	29.71
J	188.52	146.87	110.44	122.91	135.25	169.28
ВЛИС2	23.29	21.93	12.33	3.85	4.28	5.34
<b>thread</b> (ИС)	9.27	5.09	3.32	2.93	2.8	3.05
ВЛИС	53.8	25.83	24.21	21.03	9.68	28.76
J	187.8	106.7	86.6	125.4	137.0	166.5
ВЛИС2	10.31	8.56	6.03	3.8	3.7	4.8

Таблица 6

Ускорения счета задачи с матрицей **thread** на  $p$  процессорах по сравнению с 8 процессорами при различных способах разбиения

	$p=8$	$p=16$	$p=32$	$p=60$	$p=100$	$p=160$
<b>thread</b> (ИС)	1.0	1.37	2.18	3.18	3.09	3.09
ВЛИС	1.0	1.07	1.22	4.27	9.52	9.52
J	1.0	1.28	1.7	1.53	1.39	1.39
ВЛИС2	1.0	1.06	1.89	6.05	5.42	5.42
<b>thread</b> (ИС)	1.0	1.82	2.79	3.16	3.31	3.03
ВЛИС	1.0	2.08	2.22	2.56	5.56	1.87
J	1.0	1.76	2.16	1.5	1.37	1.13
ВЛИС2	1.0	1.2	1.71	2.71	2.78	2.15

Таблица 7

Числа итераций при расчетах задачи с матрицей **thread** методом CG с различными предобусловливателями при различных способах разбиения

	$p=8$	$p=16$	$p=32$	$p=60$	$p=100$	$p=160$
<b>thread</b> (ИС)	4734	5137	5101	3798	3970	3918
ВЛИС	124671	162015	252373	74697	31788	81813
J	474022	476645	478433	478372	477343	476817
ВЛИС2	6285	6112	6102	3834	3887	3906
<b>thread</b> (ИС)	4113	3891	3766	3798	3970	3918
ВЛИС	75103	64463	95232	74697	31788	81813
J	477502	47453	480264	478372	477343	476817
ВЛИС2	4299	4184	4181	3834	3887	3906

На рис. 1-9 представлены графики зависимости времен счета этих задач от числа процессоров в логарифмическом масштабе для различных методов. Заметим, что дальнейшее увеличение числа используемых процессоров может привести к ухудшению масштабируемости методов.

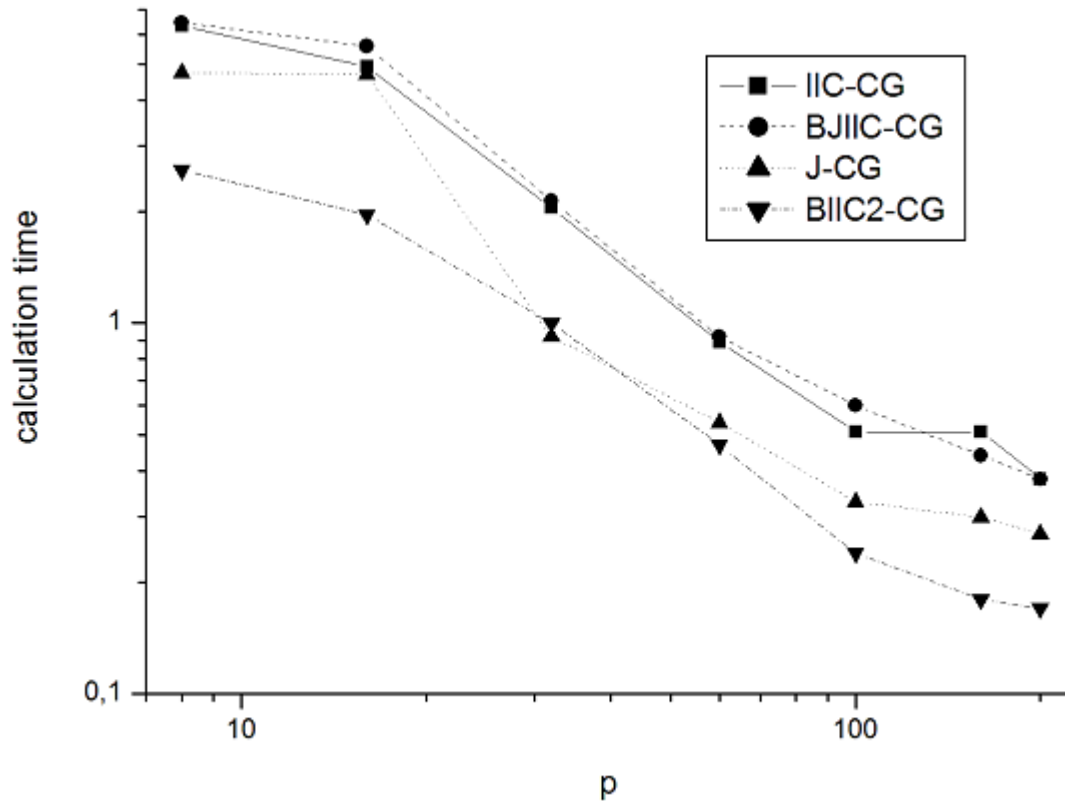


Рис.1. Время счета задачи с матрицей 5\_1048576 различными методами

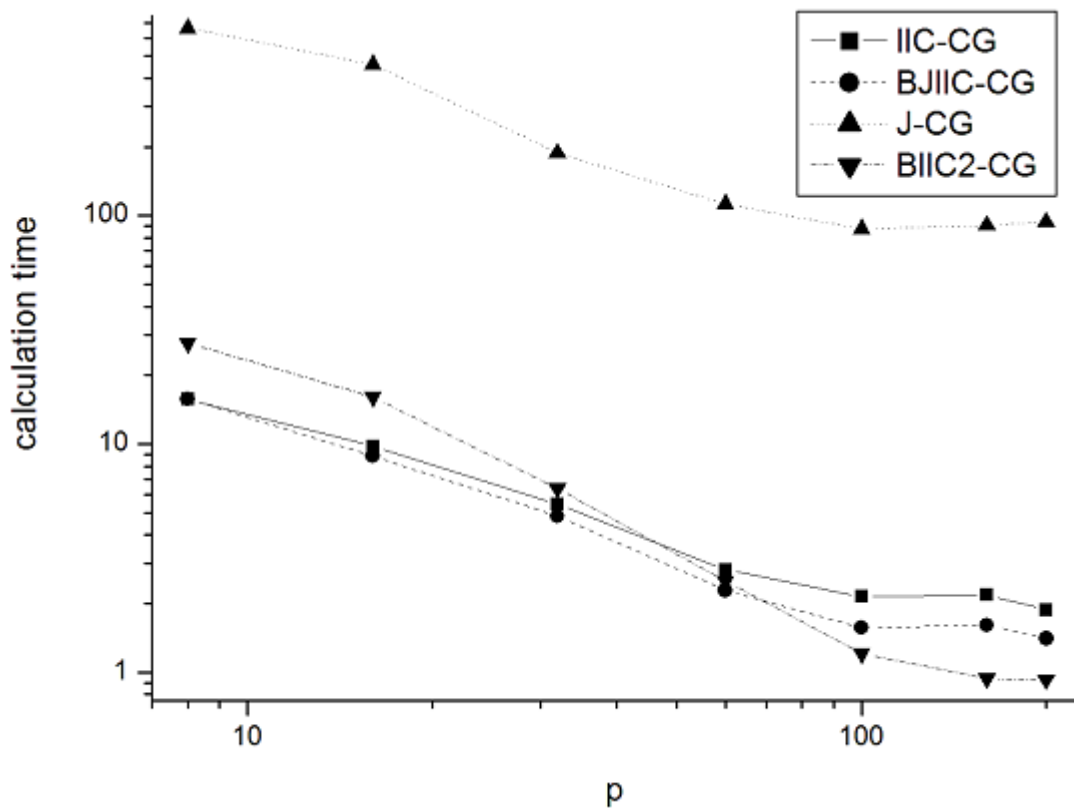


Рис.2. Время счета задачи с матрицей m\_t1 различными методами

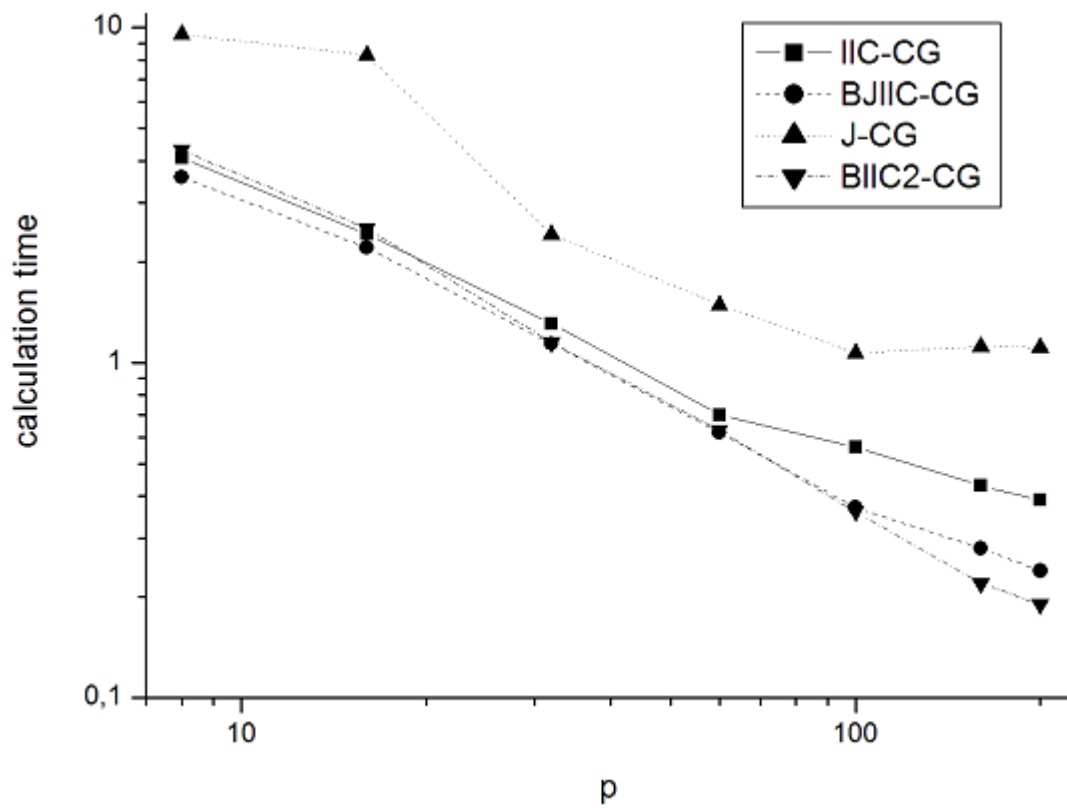


Рис.3. Время счета задачи с матрицей **hood** различными методами

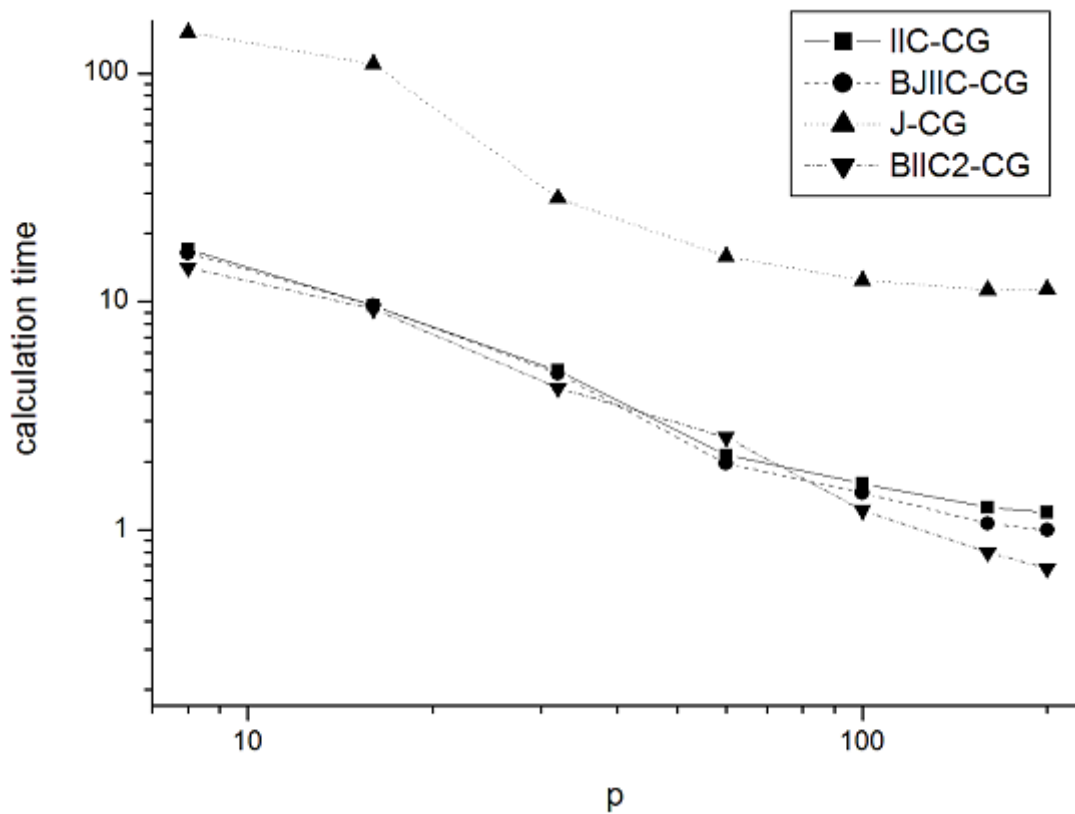


Рис.4. Время счета задачи с матрицей **pwtk** различными методами

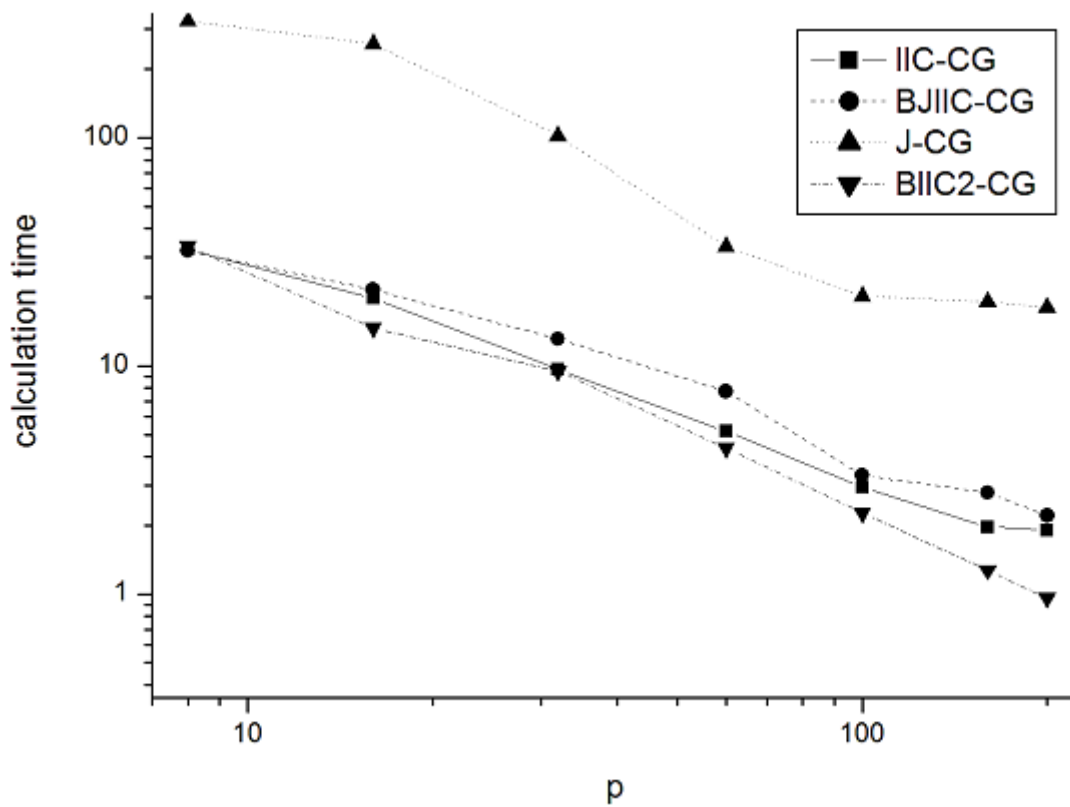


Рис.5. Время счета задачи с матрицей **msdoor** различными методами

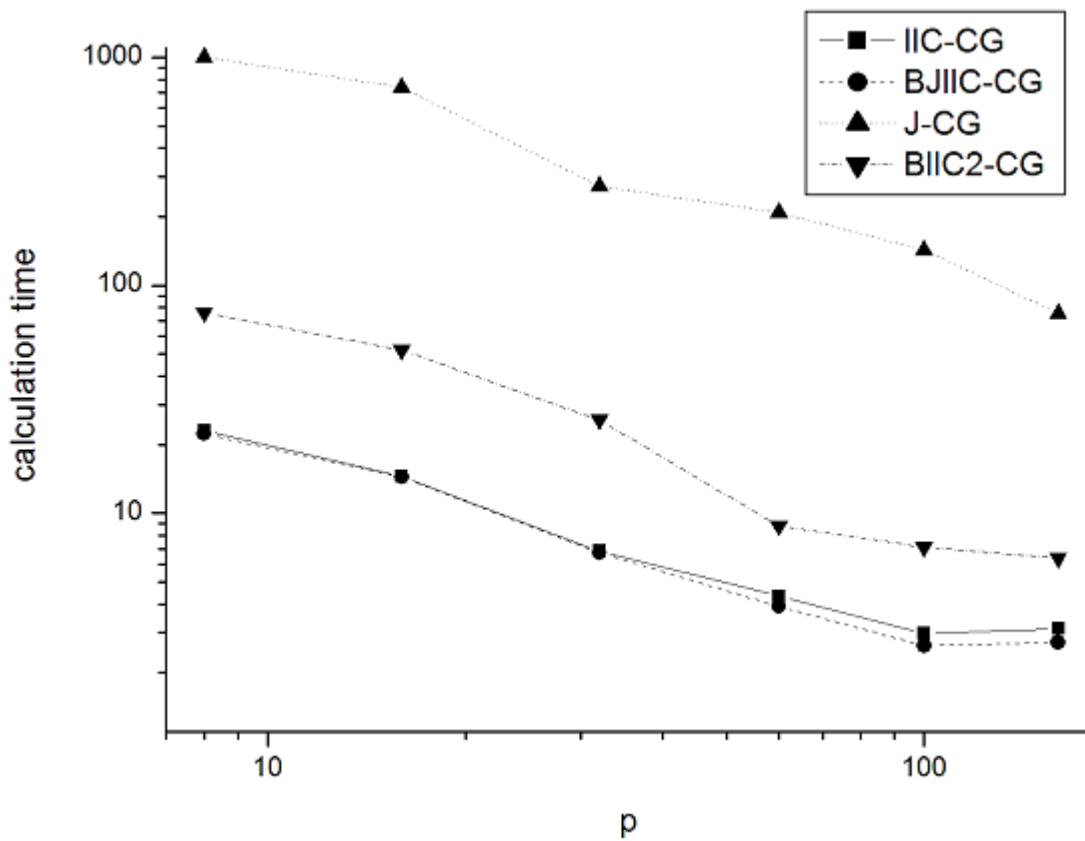


Рис.6. Время счета задачи с матрицей **x104** различными методами



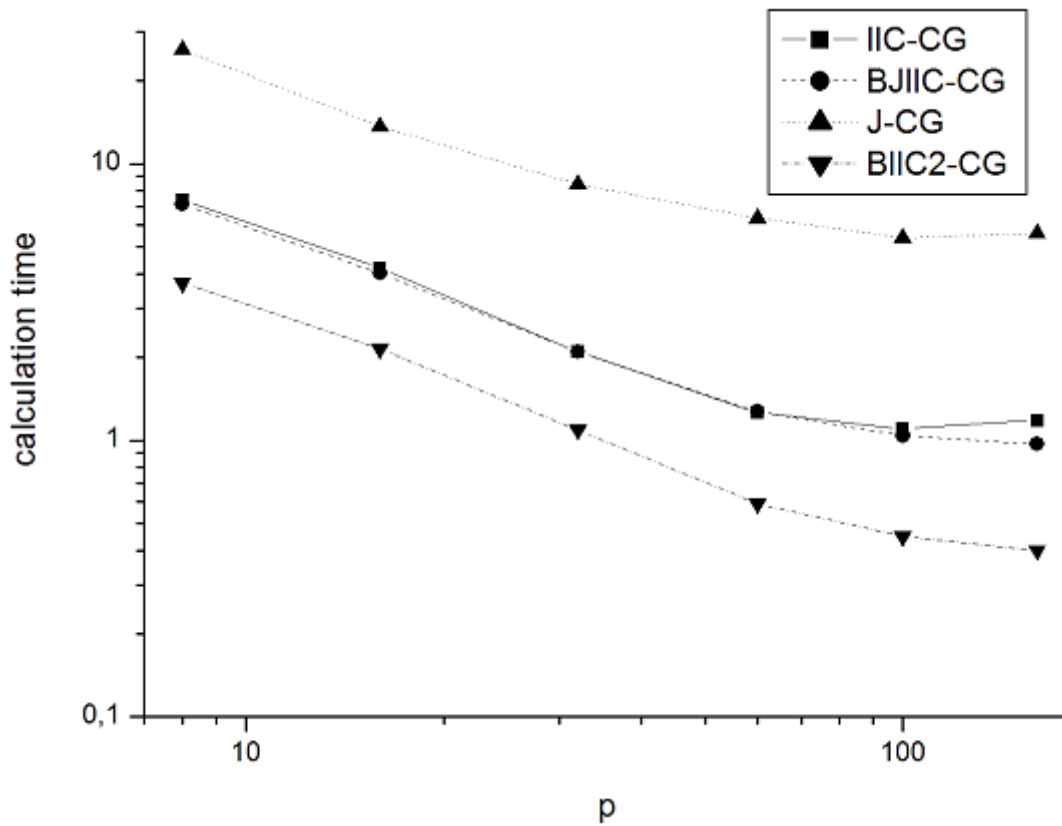


Рис.7. Время счета задачи с матрицей **s3dtk3m2** различными методами

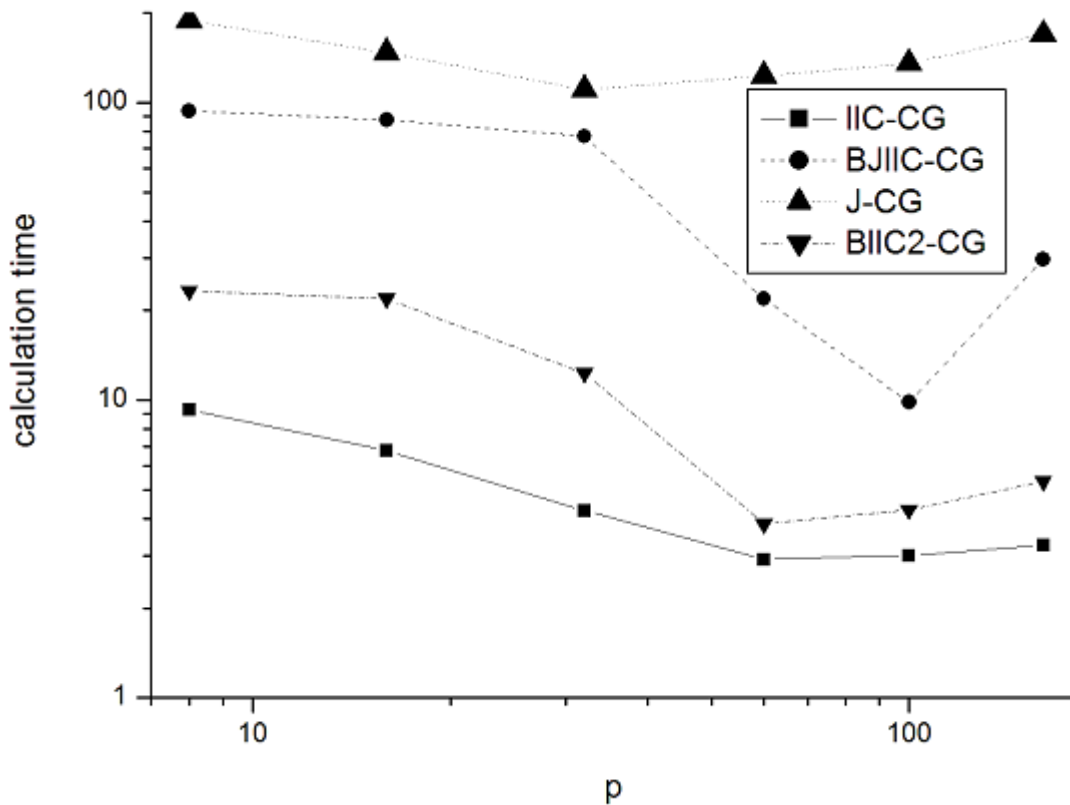


Рис.8. Время счета задачи с матрицей **thread** различными методами

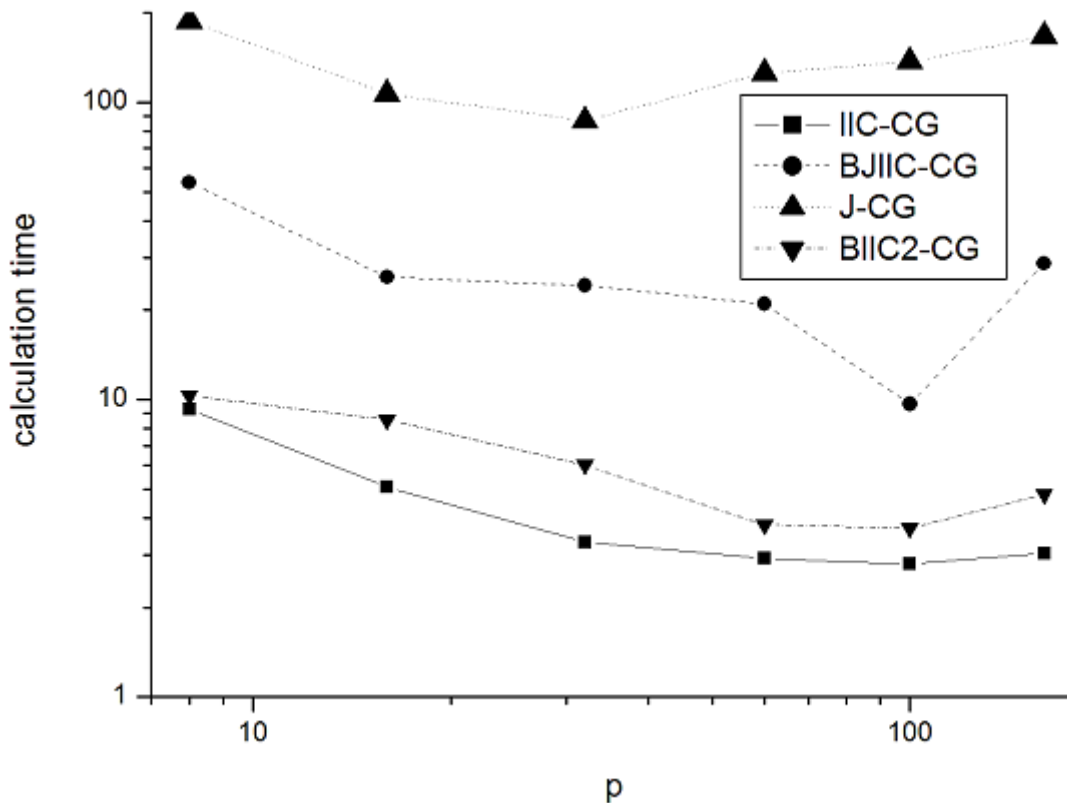


Рис.9. Время счета задачи с матрицей **thread** при использовании разбиения [10]

Из рис. 2-5 и табл. 2 видно, что времена решения соответствующих задач методами ИС-CG, ВЛС-CG, ВЛС2-CG не очень сильно отличаются друг от друга и значительно меньше времени решения этих задач методом J-CG. Из рис.6-7 и табл. 2 видно, что времена решения соответствующих задач методами ИС-CG, ВЛС-CG, тоже не очень сильно отличаются друг от друга и значительно меньше времени решения этих задач методом J-CG. Однако, на рис. 6 время решения задачи с матрицей **x104** методами ИС-CG, ВЛС-CG существенно меньше времени ее решения методом ВЛС2-CG. Время решения задачи с матрицей **s3dtk3m2** методами ИС-CG, ВЛС-CG существенно больше времени ее решения методом ВЛС2-CG.

При решении модельной задачи (см. рис.1) время решения ее методом J-CG было меньше, чем методами ИС-CG, ВЛС-CG, что скорее всего связано с сильной разреженностью матрицы.

На рисунках 8 и 9 приведены времена счета задачи с матрицей **thread** при использовании двух различных способов разбиения области расчета. В обоих случаях применение метода ИС-CG приводит к наименьшему времени счета, а использование метода J-CG к наибольшему времени счета этой задачи. Использование разбиения [10] позволяет решить задачу методом ВЛС-CG существенно быстрее, чем при использовании разбиения, описанного в [9] (на относительно небольшом числе процессоров). Это связано с большим числом итераций метода ВЛС-CG при использовании описанного выше упорядочения.

Итак, в настоящей работе рассмотрен метод ПС-CG, предложен параллельный алгоритм его реализации. Предложен метод предобусловливания блочного Якоби неполного обратного треугольного разложения ВЛПС, не требующий обменов информацией между процессорами как при построении, так и при обращении предобусловливателя. Расчеты модельной задачи и ряда тестовых задач из коллекции университета Флориды с плотными матрицами показывают, что время счета задач методом ПС-CG значительно меньше, по сравнению с методом J-CG (за исключением простейшей модельной задачи). Время счета задач методом ПС-CG как правило (за исключением одной сложной задачи) близко к времени их счета методом ВЛПС-CG. С точки зрения программной реализации метод ВЛПС-CG проще, чем метод ПС-CG.

## Список литературы

1. Davis T., Hu Y.F. University of Florida sparse matrix collection.//ACM Trans. on Math.~Software. 2011. V.38, N.1// <http://www.cise.ufl.edu/research/sparse/matrices>
2. George T., Gupta A., Sarin V.An experimental evaluation of iterative solvers for large SPD systems of linear equations: IBM Res. Report RC 24479. Jan.25. 2008.
- 3 Капорин И.Е. Предобусловленный метод сопряженных градиентов для решения дискретных аналогов дифференциальных задач //Дифференц. ур-ния. 1990. Т. 26. №7. - С.1225-1236.
4. Kaporin I.E.New convergence results and preconditioning strategies for the conjugate gradient method // Numer. Linear Algebra Appls. 1994. V.1. - P.179-210.
5. Kolotilina L.Yu., Yeremin A.Yu.Factorized sparse approximate inverse preconditionings. I.~Theory // SIAM J. Matrix Anal. Appl. 1993. V.14. - P.45-58.
6. Chow E.A priori sparsity patterns for parallel sparse approximate inverse preconditioners // SIAM J. Sci. Comput. 2000. V.21. N.5. - P.1804-1822.
7. Chow E.Parallel implementation and practical use of sparse approximate inverse preconditioners with a priori sparsity patterns // Internat. J. High Performance Comput. Appl. 2001. V.15. N.1. - P.56-74.
8. Kolotilina L.Yu., Nikishin A.A., Yeremin A.Yu.Factorized sparse approximate inverse preconditionings.IV.~Simple approaches to rising efficiency // Numer. Linear Algebra Appl. 1999. V.6. - P.515-531.
9. Kaporin I.E. Reordering and splitting of sparse matrices into overlapping blocks for massively parallel preconditioning of iterative methods//Presented at NUMGRID-2012, A.A.Dorodnicyn Computing Center RAS, Moscow, Dec.17-18, 2012.
10. Капорин И.Е., Милюкова О.Ю. Массивно-параллельный алгоритм предобусловленного метода сопряженных градиентов для численного решения систем линейных алгебраических уравнений // Сб.трудов отдела проблем прикладной оптимизации ВЦ РАН (под ред.В.Г.Жадана). М.: Из-во ВЦ РАН. 2011. – С. 132-157.
11. Капорин И.Е., Коньшин И.Н. Параллельное решение симметричных положительно-определенных систем на основе перекрывающегося

- разбиения на блоки // Ж. вычисл. матем. и матем. физики. 2001. Т. 41. № 4. - С. 515–528.
12. Axelsson O. Iterative solution methods. New York: Cambridge Univ. Press, 1994.
13. Капорин И.Е. Предобусловливание итерационных методов решения систем линейных алгебраических уравнений. Дисс. на соиск. ученой степени д.ф.-м.н. 2011. Москва. 216 С.
14. Капорин И.Е. Использование полиномов Чебышева и приближенного обратного треугольного разложения для предобусловливания метода сопряженных градиентов // Ж. вычисл. матем. и матем. физики. 2012. Т.52. № 2. – С.1-26.
15. Kaporin I. Fast matrix scaling, fine-coarse grid partitioning, and highly parallel preconditioning // Numerical geometry, grid generation, and high performance computing (Yu.G.Evtushenko, V.A.Garanzha, M.K.Kerimov, eds.), Procs. Int. Conf. NUMGRID2010, Moscow, 11-13 Oct. 2010, P. 110-116.
16. Farhat C. A simple and efficient automatic FEM domain decomposer // Computers and Structures. 1988. V. 28. N. 5. - P.579-602.
17. Diekmann R., Preis R., Schlimbach F., Walshaw C. Shape-optimized mesh partitioning and load balancing for parallel adaptive FEM // Parallel Computers and Structures. 1988. V.28. N.5. - P.579-602.
18. Якобовский М.В. Инкрементный алгоритм декомпозиции графов. // Вестник Нижегородского Университета им. Н.И.Лобачевского. Серия «Математическое моделирование и оптимальное управление». 2005. Вып. 1(28). Нижний Новгород: Издательство ННГУ. - С. 243-250.
19. Kaporin I.E. High quality preconditionings of a general symmetric positive definite matrix based on its  $U^T U + U^T R + R^T U$  - decomposition // Numer. Lin. Alg. Appl. 1998. V. 5. – P.483-509.

## Оглавление

1. Введение .....	3
2. Предобусловленный метод сопряженных градиентов .....	5
3. Выбор значений ненулевых элементов матрицы $G$ , обеспечивающий построение $K$ -оптимального предобусловливания .....	6
4. Выбор позиций ненулевых элементов матрицы $G$ .....	6
5. Алгоритм параллельной реализации .....	7
6. Предобусловливание при помощи блочного метода Якоби в сочетании с неполным обратным треугольным разложением .....	8
7. Оценки уменьшения $K$ -числа обусловленности в методах ВЛС и ПС.....	9
8. Переупорядочение и разбиение графа матрицы.....	10
9. Предобусловливание при помощи блочного неполного обратного треугольного разложения и предобусловливание Якоби .....	14
10. Результаты расчетов .....	15
Список литературы.....	26